

# システム最適化特論

前期前半 月 5, 6限 14:00-16:10 5号館 第16講義室

**担当: 平田 健太郎**

7/1 内点法 (続)

最短経路問題と動的計画法 (DP)

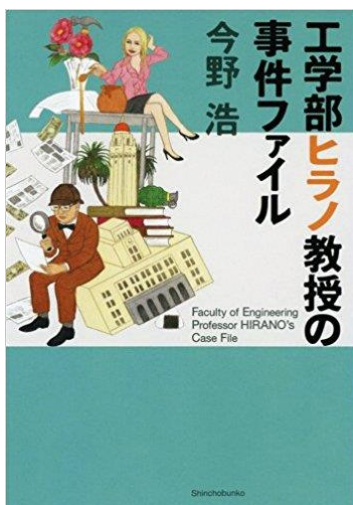
## 講義日程(予定)

- 6/17 第1回 最適化問題と線形計画法(LP)
- 6/24 第2回 内点法
- 7/1 第3回 最短経路問題と動的計画法(DP)
- 7/8 第4回 最適制御
- 7/18\* 第5回 二次計画法(QP)とモデル予測制御(MPC)
- 7/22 第6回 凸解析と線形行列不等式
- 7/29 第7回 線形行列不等式(LMI)による制御系解析・設計
- 8/5 第8回 非線形最適化

\* irregular

# カーマーカー特許とソフトウェア —数学は特許になるか

中公新書 今野 浩 (著)



1984年11月

米国OR学会(ダラス)にて発表。「自分の解法の出現によって新しい時代の幕が開いた」と述べるが、専門家からの技術的質問には一切答えないというルール破りの行動に出た。



COMBINATORICA 4 (4) (1984) 373—395

## A NEW POLYNOMIAL-TIME ALGORITHM FOR LINEAR PROGRAMMING

N. KARMARKAR

*Received 20 August 1984*

*Revised 9 November 1984*

We present a new polynomial-time algorithm for linear programming. In the worst case, the algorithm requires  $O(n^{3.5}L)$  arithmetic operations on  $O(L)$  bit numbers, where  $n$  is the number of variables and  $L$  is the number of bits in the input. The running-time of this algorithm is better than the ellipsoid algorithm by a factor of  $O(n^{2.5})$ . We prove that given a polytope  $P$  and a strictly interior point  $a \in P$ , there is a projective transformation of the space that maps  $P$ ,  $a$  to  $P'$ ,  $a'$  having the following property. The ratio of the radius of the smallest sphere with center  $a'$ , containing  $P'$  to the radius of the largest sphere with center  $a'$  contained in  $P'$  is  $O(n)$ . The algorithm consists of repeated application of such projective transformations each followed by optimization over an inscribed sphere to create a sequence of points which converges to the optimal solution in polynomial time.

### 1. Informal outline

In this Section we give an informal discussion of the main ideas involved in the algorithm. A more rigorous description will be given in the next Section.

#### 1.1. Problem definition



サー・チャンドラシェーカル・ヴェンカタ・ラーマン

**Sir Chandrasekhara Venkata Raman** (1888- 1970)  
インドの物理学者. 1930年ノーベル物理学賞受賞. ラマン効果 (ラマンスペクトル) の発見者. インド本国で研究したインド人研究者としては初めてのノーベル賞受賞者.



Dr Narendra K Karmarkar

スブラマニアン・チャンドラセカール

**Subramanyan Chandrasekhar** (1910- 1995)

インド生まれのアメリカの天体物理学者. 恒星の終焉に関する「チャンドラセカール限界」を提唱したことで知られる. 1983年, 「星の構造と進化にとって重要な物理的過程の理論的研究」でノーベル物理学賞受賞.



1984年アメリカ, ベル研究所の研究者ナレンドラ・カーマーカー (Narendra Karmarkar) によって世界初のアルゴリズム特許が出願され, 88年に特許申請が認められた. 数式(算法)は、特許にならないという常識をくつがえした.

日本にもAT&T社から「最適資源割当て方法」として出願され成立.  
(特許第2033073号)

1989年 AT&T LPソルバKORBXと専用コンピュータ(8.9M\$)の抱き合わせ販売を開始.

### 【KORBX購入先】

デルタ航空: 前述

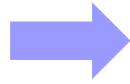
米空軍: 70,000制約式, 500,000変数の問題が解けるようになった.

Karmarkar法は, 対数障壁関数を用いた射影ニュートン障壁法と同値であることが示された (Gill *et. al.*, 1986)

$$\min 2x$$

$$\text{s.t. } -1 \leq x \leq 1$$

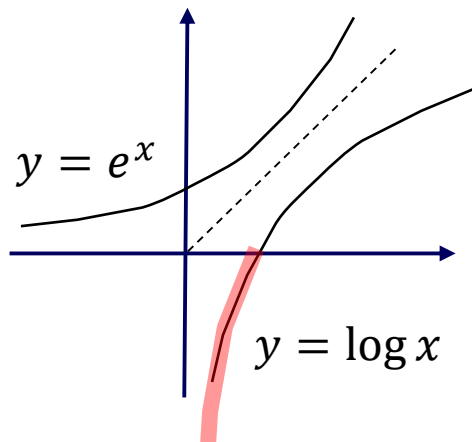
最適解:  $x = -1$



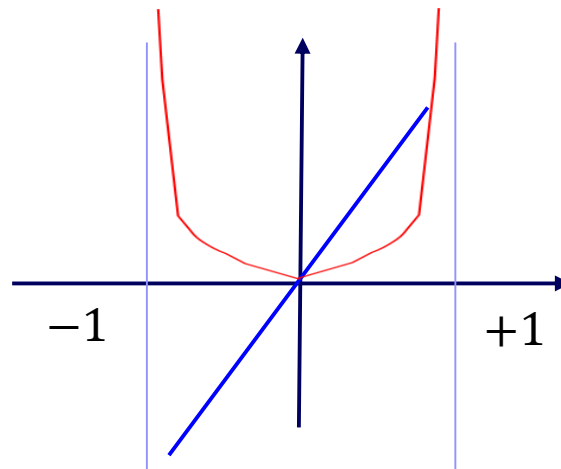
$$\min f(x)$$

$$f(x) = 2x - \left(\frac{1}{t}\right) \log(1 - x^2)$$

$$x \in \mathcal{R}$$

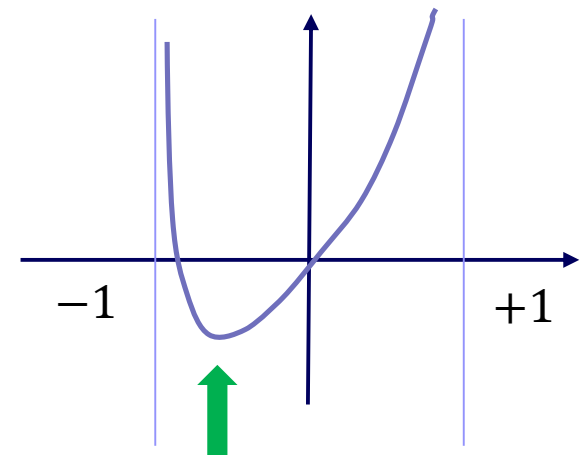


$$-\left(\frac{1}{t}\right) \log(1 - x^2)$$



$t$  が小さいほど  $\pm 1$  付近の赤の傾きは急激に

$$f(x)$$

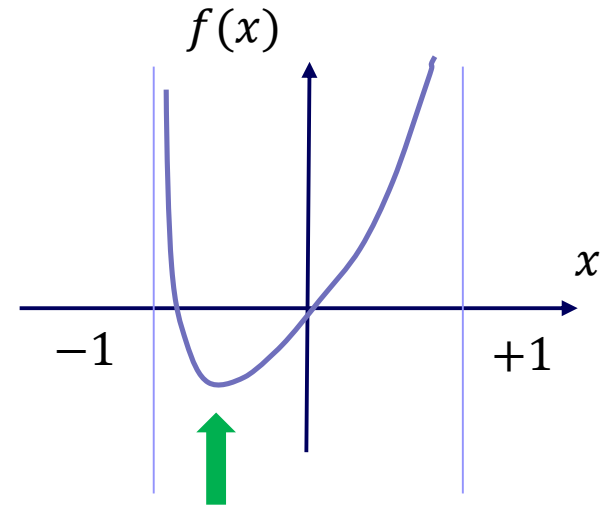


$f(x)$  を最小にする解は原問題の最適解に近づく

$$\min f(x)$$

$$f(x) = 2x - \left(\frac{1}{t}\right) \log(1 - x^2)$$

$$x \in \mathcal{R}$$



$f(x)$  を最小にする解は原問題  
の最適解に近づく

$$f'(x) = 2 - \frac{1}{t} \frac{(-2x)}{1 - x^2} = 0$$

$$\rightarrow 2t(1 - x^2) + 2x = 0$$

$$\rightarrow x^2 - \left(\frac{1}{t}\right)x - 1 = 0$$



$$x = \frac{\frac{1}{t} \pm \sqrt{\frac{1}{t^2} + 4}}{2}$$

$x > 0$  の解は  $x \notin [-1, 1]$

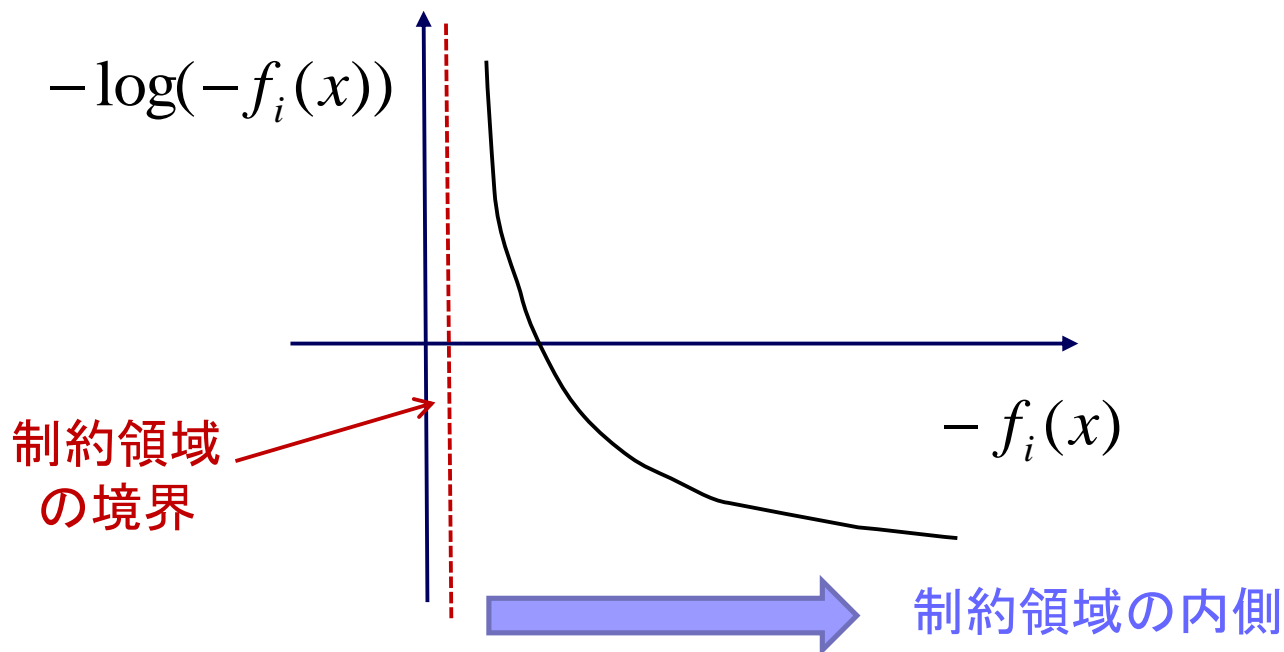
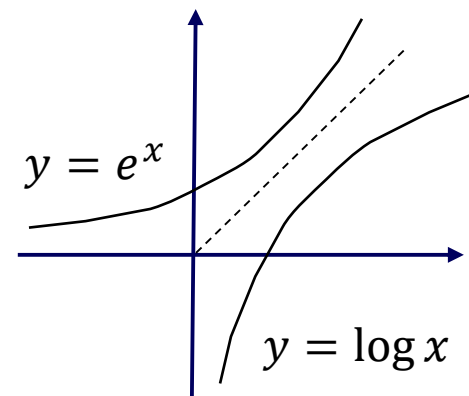
$$x \rightarrow -1 + 0 \quad (t \rightarrow 0+)$$



# バリア関数(ペナルティ)法

制約条件:  $f_i(x) \leq 0, \quad i = 1, \dots, m$

バリア関数:  $\sum_{i=1}^m -(1/t) \log(-f_i(x))$



## バリア関数と(線形)評価関数を合成

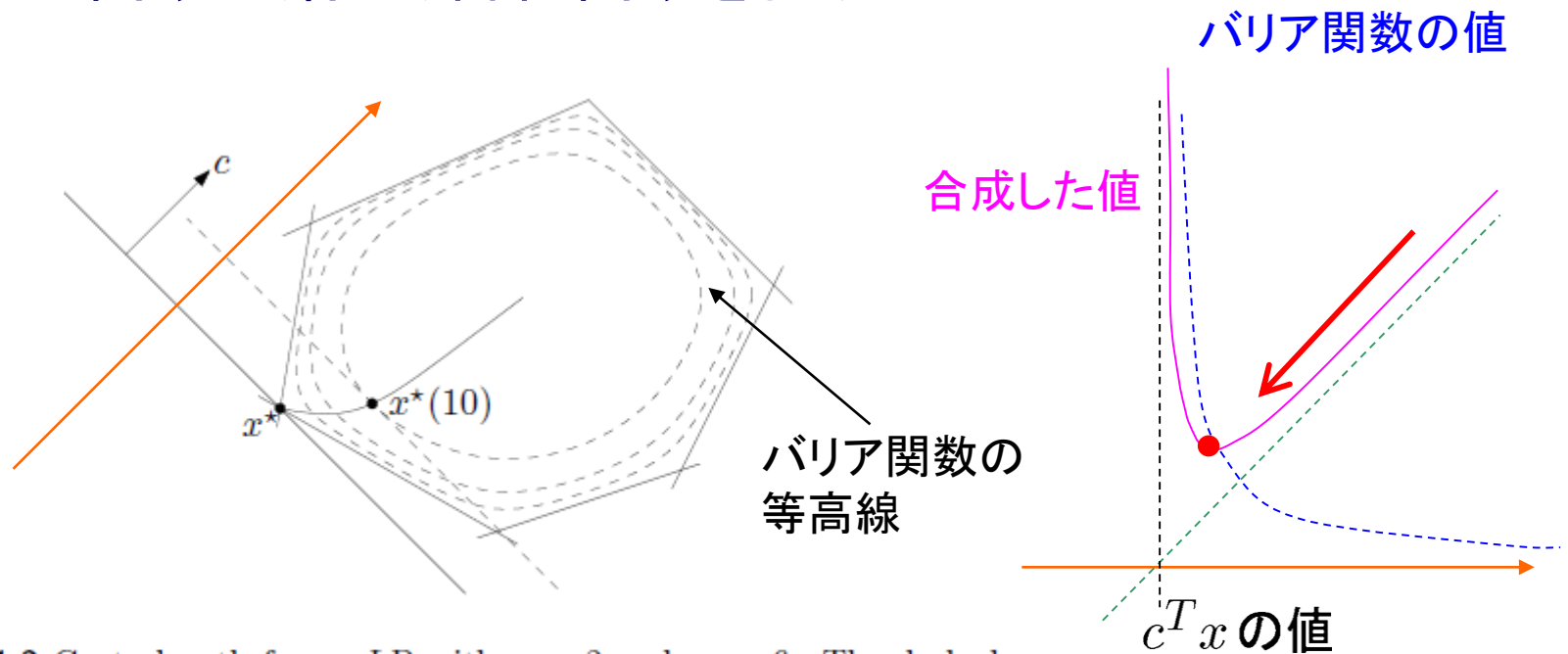


Figure 11.2 Central path for an LP with  $n = 2$  and  $m = 6$ . The dashed curves show three contour lines of the logarithmic barrier function  $\phi$ . The

$$\text{minimize } f_0(x) + \sum_{i=1}^m -(1/t) \log(-f_i(x))$$

# バリア関数(ペナルティ)法

原問題 (制約つき)

$$\begin{array}{ll} \text{minimize} & f_0(x) \\ \text{subject to} & f_i(x) \leq 0, \quad i = 1, \dots, m \end{array}$$

制約なし問題 (等価)

↓ バリア関数  $I_-(u) = \begin{cases} 0 & u \leq 0 \\ \infty & u > 0. \end{cases}$

$$\text{minimize} \quad f_0(x) + \sum_{i=1}^m I_-(f_i(x))$$

制約なし問題 (近似)

対数バリア関数(微分可能)

$$\hat{I}_-(u) = -(1/t) \log(-u),$$

$$\text{minimize} \quad f_0(x) + \sum_{i=1}^m -(1/t) \log(-f_i(x))$$

制約なし非線形最適化

Karmarkar法

射影変換法



アフィン変換法

60年代に先行研究(ディキン(ロシア))

AT&Tの特許戦略: 制約領域の内部を通るものなら  
どんなものであれ特許侵害とみなす

主双対内点法



対抗ソフト OB1 (5万ドル) 登場

# ■ 線形計画問題における双対問題

変数  $x \rightarrow w$

「最小化」を「最大化」に

目的関数の係数  $c \rightarrow b$

$$\begin{array}{l} \min c^T x \\ \text{subject to } Ax = b, x \geq 0 \end{array}$$

$$\begin{array}{l} \max b^T w \\ \text{subject to } A^T w \leq c \end{array}$$

制約条件  $A \rightarrow A^T, b \rightarrow c, 「=」 \rightarrow 「\leq」$   
非負制約 あり  $\rightarrow$  なし

主問題 primal problem (P)

双対問題 dual problem (D)

## ■ LPにおける双対問題

$$\min c^T x$$

subject to  $Ax = b, x \geq 0$

主問題 primal problem (P)

$$\max b^T w$$

subject to  $A^T w \leq c$

双対問題 dual problem (D)

弱双対定理: (P)と(D)それぞれの任意の実行可能解 $x, w$ に対して, 常に不等式 $c^T x \geq b^T w$ が成り立つ.

証明

双対定理: (P) または (D) の一方が最適解をもてば他方も最適解をもち, (P) の最小値と (D) の最大値は等しい.

証明(PからD)

➡ 主双対内点法へ!

## ■ パス追跡・主双対内点法

$$\min c^T x$$

subject to  $Ax = b, x \geq 0$

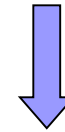
主問題 primal problem (P)

$$\max b^T w$$

subject to  $A^T w \leq c$

双対問題 dual problem (D)

スラック変数  $s$  を用いて等式化



$$\max b^T w$$

subject to  $A^T w + s = c, s \geq 0$

双対問題 (D')



## 双対定理より

$(x, w, s)$  が次式を満たす

$$\begin{cases} c^T x = b^T w \\ Ax = b \\ A^T w + s = c \\ x \geq 0, s \geq 0 \end{cases} \quad \longleftrightarrow$$

$x$  と  $(w, s)$  が  $(P)$ ,  $(D')$  の最適解

スカラー量

$$c^T x - b^T w = (A^T w + s)^T x - (Ax)^T w = w^T Ax + s^T x - x^T A^T w = s^T x$$

$x \geq 0, s \geq 0$  より第1式は  $s_j x_j = 0, \forall j$ , あるいは

$$XSe = 0, \quad X = \begin{bmatrix} x_1 & & 0 \\ & \cdots & \\ 0 & & x_n \end{bmatrix}, \quad S = \begin{bmatrix} s_1 & & 0 \\ & \cdots & \\ 0 & & s_n \end{bmatrix}, \quad e = \begin{bmatrix} 1 \\ \vdots \\ 1 \end{bmatrix}$$

少なくとも一方は0: 相補性条件

## 線形相補性問題

$$\begin{cases} XSe = 0 \\ Ax = b \\ A^T w + s = c \\ x \geq 0, s \geq 0 \end{cases} \dots (1) \quad \longrightarrow \quad \begin{cases} XSe = \mu e & \text{非線形} \\ Ax = b \\ A^T w + s = c \end{cases} \dots (2)$$

$x \geq 0, s \geq 0$  を  $x > 0, s > 0$  とみなし、パラメータ  $\mu > 0$  を用いて相補性条件  $x_j s_j = 0$  を  $x_j s_j = \mu$  で置き換え

(2) において  $\mu \rightarrow 0$  とした極限が線形相補性問題 (1) の解

## パス追跡法

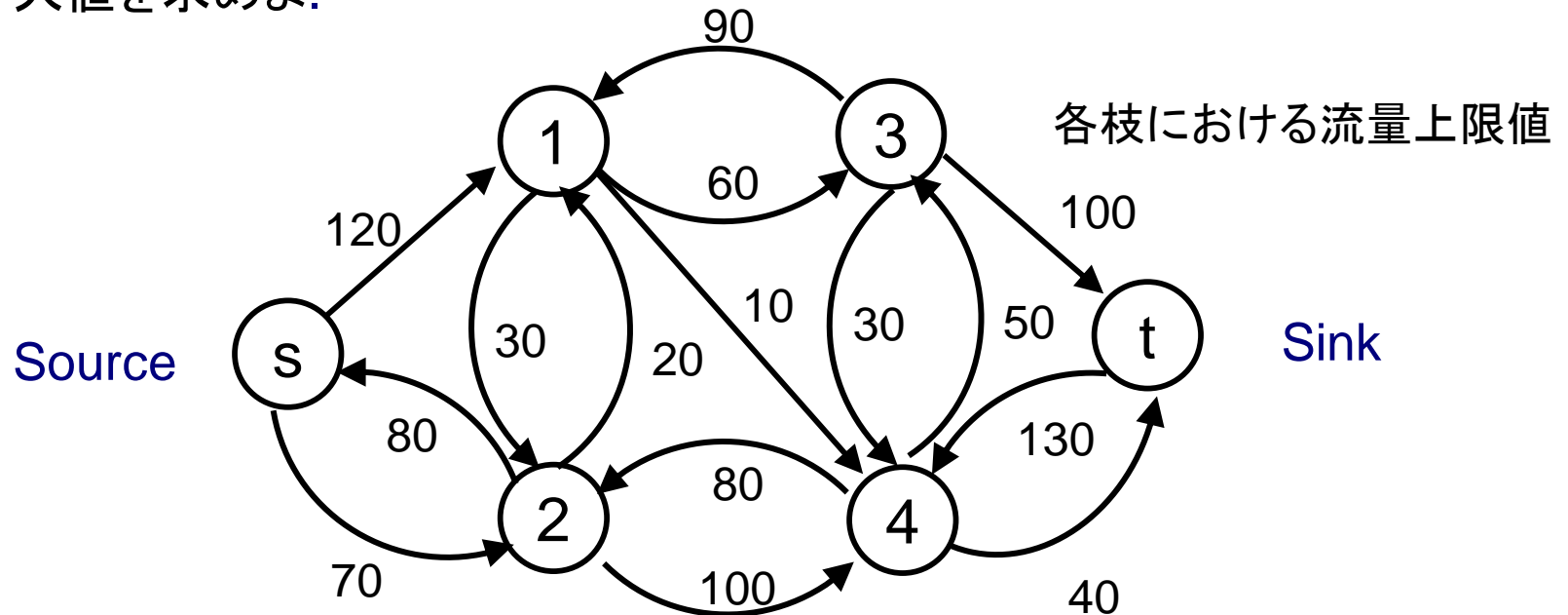
0 に収束する正数列  $\{\mu^{(k)}\}$  を考え、各  $\mu^{(k)}$  に対する非線形連立方程式 (2) の解  $(x(\mu^{(k)}), w(\mu^{(k)}), s(\mu^{(k)}))$  を近似的に求め、(1) の解に収束する点列を求める。

とくに変数  $(x, s)$  に関しては常に  $x^{(k)} > 0, s^{(k)} > 0$  が成り立つように点列を定める  $\Rightarrow$  内点法

## ネットワークに関連した他の線形計画問題

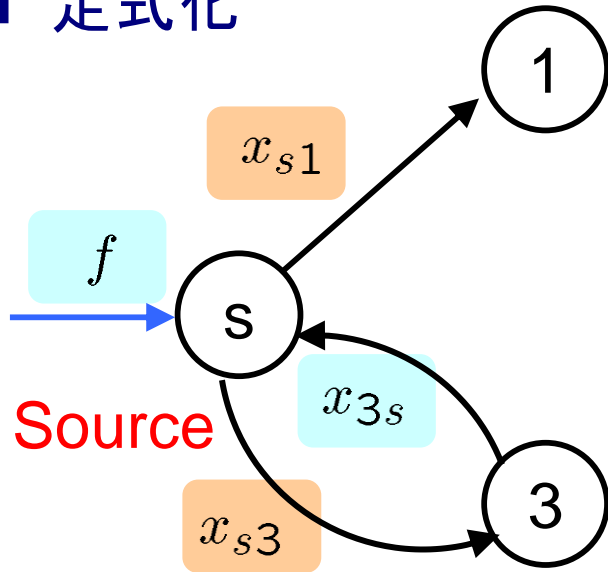
## ■ 最大流問題

各枝の流量制約下でソースからシンクへ流すことのできるフローの最大値を求めよ。



$V$ : 節点 (Vertex) の集合,  $E$ : 枝 (Edge) の集合,  $s$ : ソース,  $t$ : シンク,  
 $x_{ij}$ : 枝  $(i, j)$  上の流れの大きさ,  $u_{ij}$ : 枝  $(i, j)$  の容量,  
 $f$ : ソースからシンクへの総流量

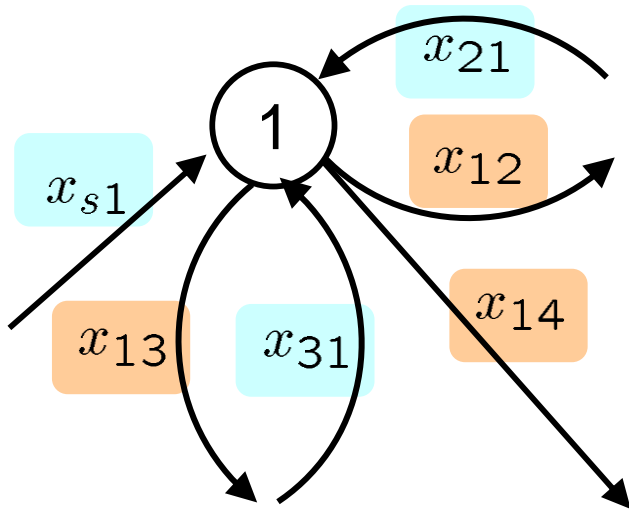
## ■ 定式化



ソースでの流れの保存則

$$\sum_{\{j|(s,j) \in E\}} x_{sj} - \sum_{\{j|(j,s) \in E\}} x_{js} = f$$

シンクでも同様



中間ノードでの流れの保存則

$$\sum_{\{j|(i,j) \in E\}} x_{ij} - \sum_{\{j|(j,i) \in E\}} x_{ji} = 0,$$

$$(i \in V - \{s, t\})$$

## ■ 最大流問題

$$\max f$$

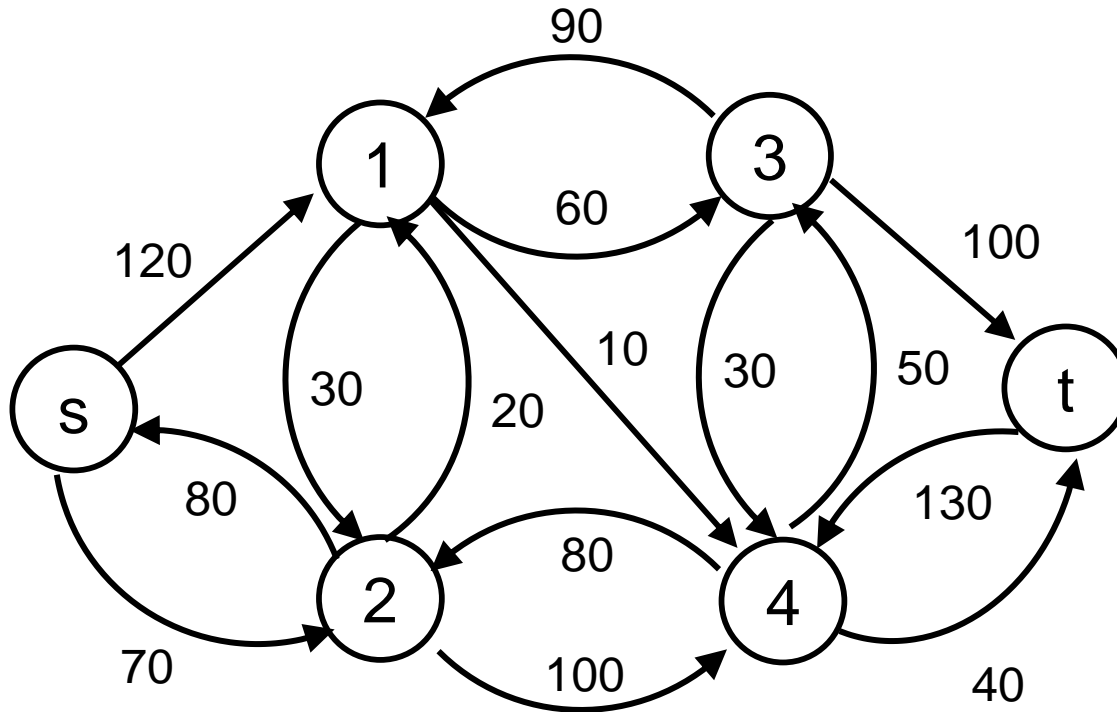
**subject to**

$$\sum_{\{j|(s,j)\in E\}} x_{sj} - \sum_{\{j|(j,s)\in E\}} x_{js} = f$$
$$\sum_{\{j|(i,j)\in E\}} x_{ij} - \sum_{\{j|(j,i)\in E\}} x_{ji} = 0, \quad (i \in V - \{s, t\})$$
$$\sum_{\{j|(t,j)\in E\}} x_{tj} - \sum_{\{j|(j,t)\in E\}} x_{jt} = -f$$
$$0 \leq x_{ij} \leq u_{ij} \quad ((i, j) \in E)$$

$\Rightarrow \{x_{ij}, f\}$  を変数とする線形計画問題

## ■ 最小費用流問題

最大流問題の条件に加えて, 各枝における単位流量あたりのコストが与えられている.



	s	1	2	...
s		2	4	
1	5		1	
2	3	2		
	4	1	3	

ソースからシンクへのフローは与えられているとする. 各枝の輸送量制約下で定められた量の品物をソースからシンクへ流すとき, 費用が最小となる配送法を求めよ.

$G = (V, E)$  : 節点 (vertex)  $V$  と枝 (edge)  $E$  からなるネットワーク,  
 $x_{ij}$ : 枝  $(i, j)$  上の流れの大きさ,  $u_{ij}$ : 枝  $(i, j)$  の容量,  
 $c_{ij}$ : 枝  $(i, j)$  の 1 単位の流れに対するコスト,  
 $b_i$ : 節点  $i$  における需要, 供給量

$$\begin{aligned} & \min \sum_{(i,j) \in E} c_{ij} x_{ij} \\ \text{subject to} \quad & \sum_{\{j | (i,j) \in E\}} x_{ij} - \sum_{\{j | (j,i) \in E\}} x_{ji} = b_i, \quad (i \in V) \\ & 0 \leq x_{ij} \leq u_{ij} \quad ((i, j) \in E) \end{aligned}$$

⇒線形計画問題

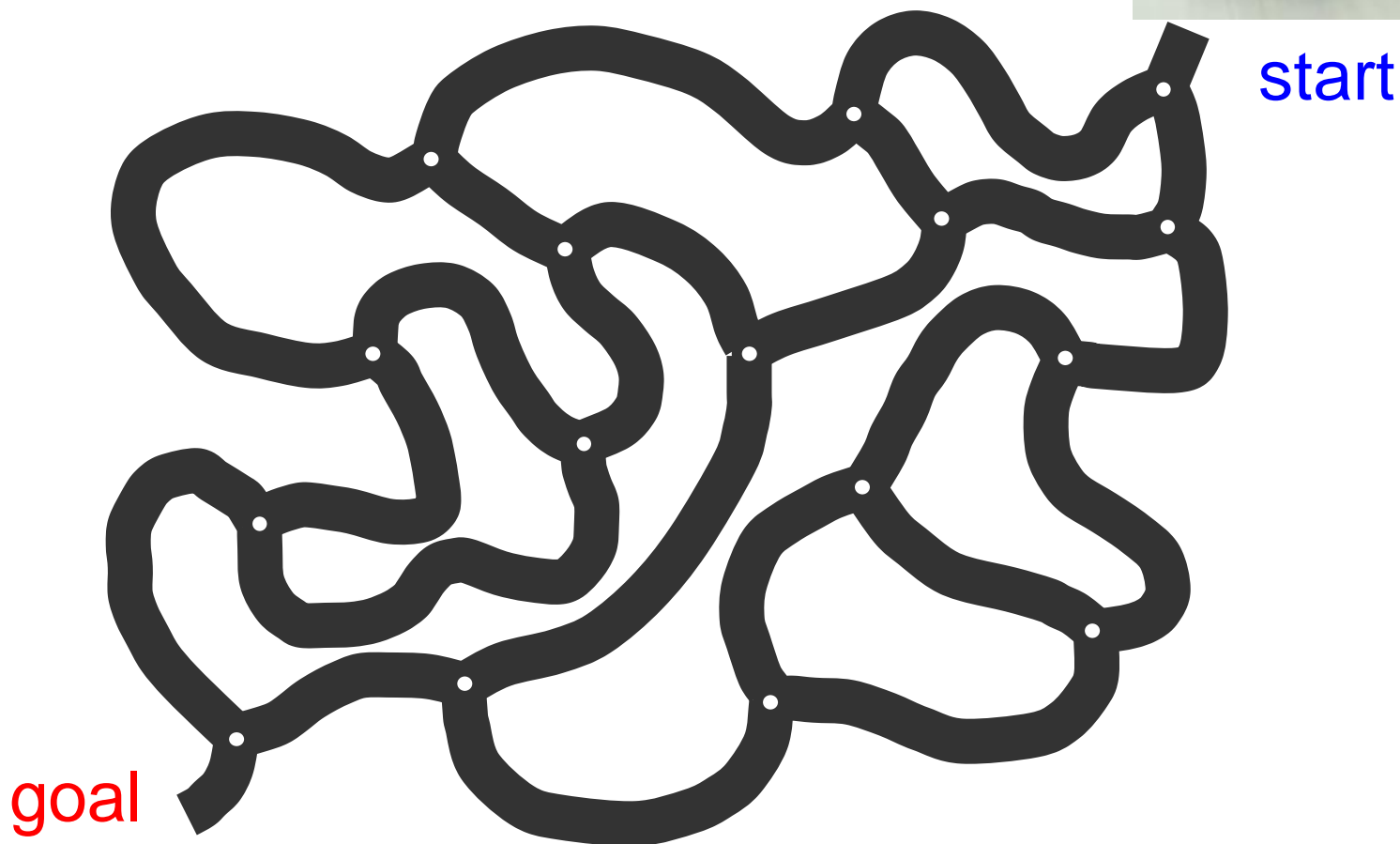
ソースとシンクのみ非零の  $b_i$  を設定し, 容量制約をなくすと輸送問題になる



# 最短経路問題

# ■ 最短経路問題の例

ライトレース  
ロボット



最短時間でゴールできるルートを選んで走行せよ！

最小費用流問題において、ソースとシンクのみ非零の $b_i$ を設定、枝上の容量制約を外し、各枝上の単位流量当たりのコストを枝の長さ(節点間の距離)とする。

最小費用流となるには、距離の短い経路から選ばれるが、容量制約がなければ、全流量がある経路(最短経路)に集中する。

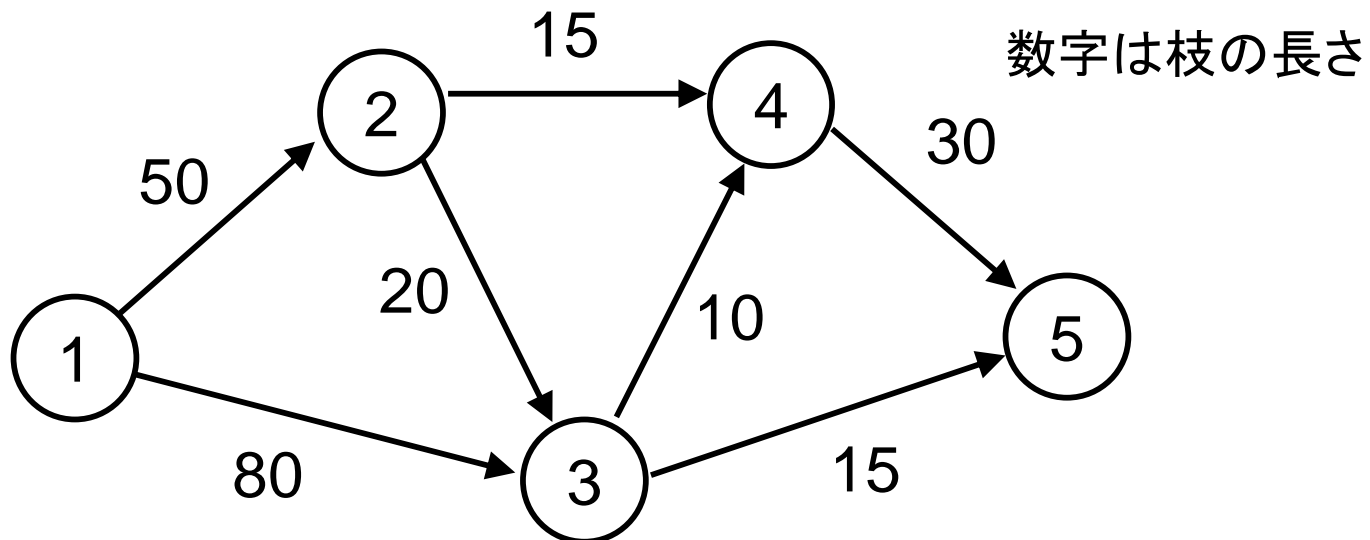
すなわち、最短経路問題はLPとして解くこともできる。

Quiz: 数値は格子点間の距離を表す. 左方向, 下方向以外には進めないとき, スタートからゴールまでの最小ルート of 長さを求めよ.

	1	2	2	1	start
3	3	2	1	1	2
1	1	2	2	3	1
3	1	1	3	3	3
					goal

## ■ 列挙法

節点1から5への全ての経路を数え上げて、最短のものを求めよ。



path: 1→2→3→4→5, length: 110

1→2→4→5, 95

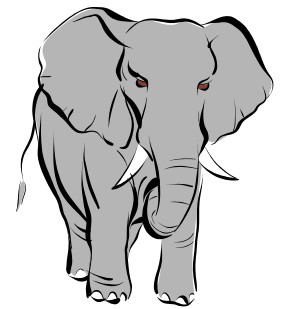
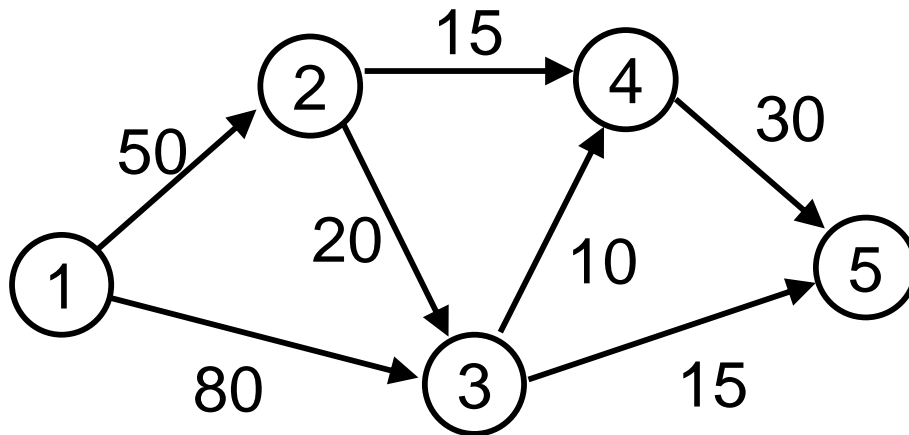
1→2→3→5, 85 ←最短

1→3→4→5, 120

1→3→5, 95

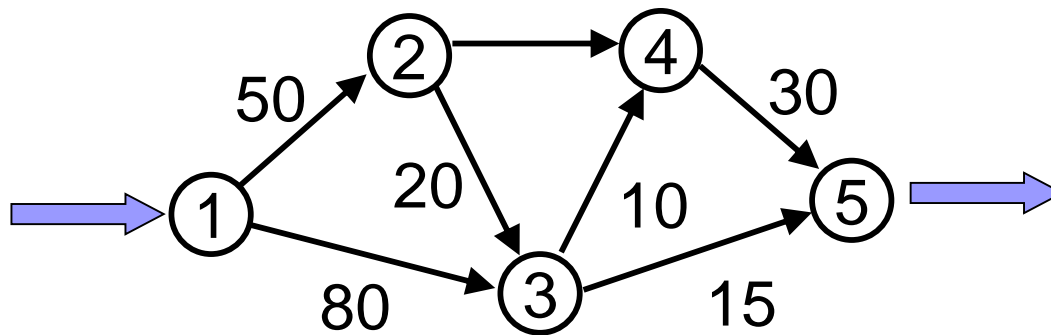
1. 7本の辺それぞれを通る/通らないとして、経路パターンを  $2^7$  生成
2. 1から出発して5に到達できるかチェック, 到達できるなら経路長を記録
3. すべての実行可能解のうち, 経路長が最小のものを出力

明らかに指数時間アルゴリズム



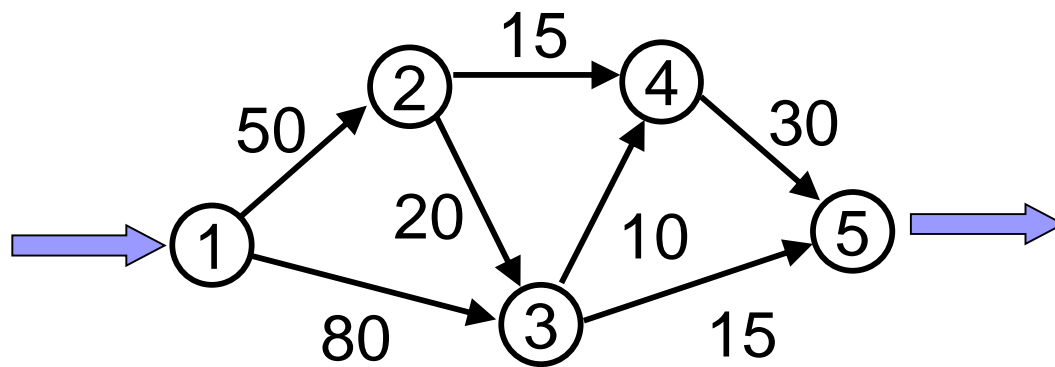
Extremely elephant!

## 線形計画問題として解く



最も早い主双対内点法によれば，変数の数  $n$ ，入力のビット数  $L$  に対して計算量は  $\mathcal{O}(n^3 L)$  になることが知られている

$L$  は問題を計算機に記述するのに必要な総ビット数  
(行列・ベクトルの要素を2進数で表現した際の総容量)



実行可能基底解が退化  
(0解が7-5より多い)  
⇒注意が必要

$$x := [x_{12} \ x_{13} \ x_{23} \ x_{24} \ x_{34} \ x_{35} \ x_{45}]^T,$$

$$c := [50 \ 80 \ 20 \ 15 \ 10 \ 15 \ 30]^T,$$

$$A := \begin{bmatrix} 1 & 1 & 0 & 0 & 0 & 0 & 0 \\ -1 & 0 & 1 & 1 & 0 & 0 & 0 \\ 0 & -1 & -1 & 0 & 1 & 1 & 0 \\ 0 & 0 & 0 & -1 & -1 & 0 & 1 \\ 0 & 0 & 0 & 0 & 0 & -1 & -1 \end{bmatrix}, \quad b := \begin{bmatrix} 1 \\ 0 \\ 0 \\ 0 \\ -1 \end{bmatrix},$$

$$\min c^T x \quad \mathbf{s.t.} \quad Ax = b, \quad x \geq 0.$$

Matlab計算例: shortest\_path.m



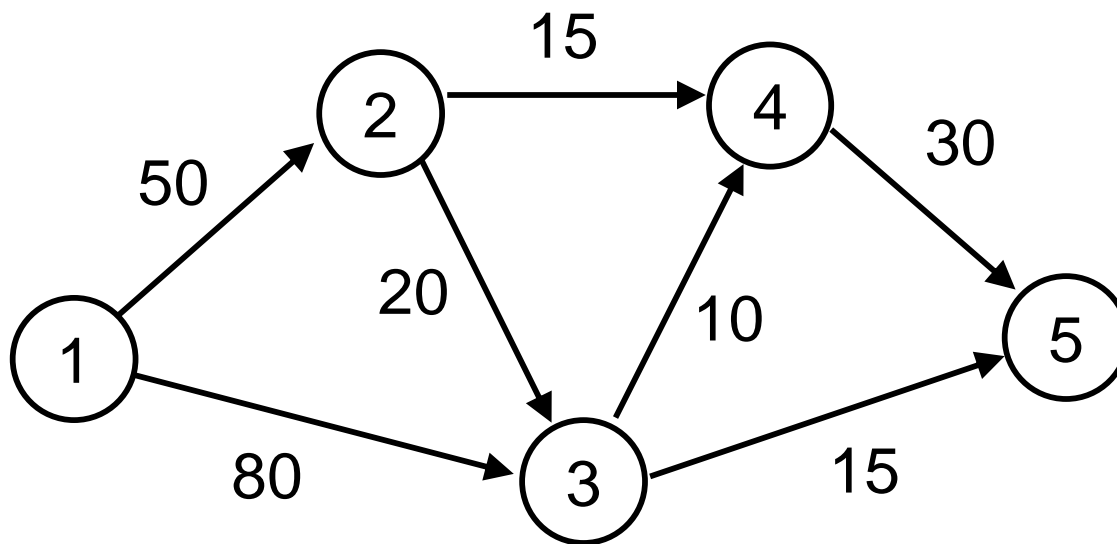
# ■ ダイクストラ法/Dijkstra Method

多項式時間アルゴリズム  $O(n^2)$

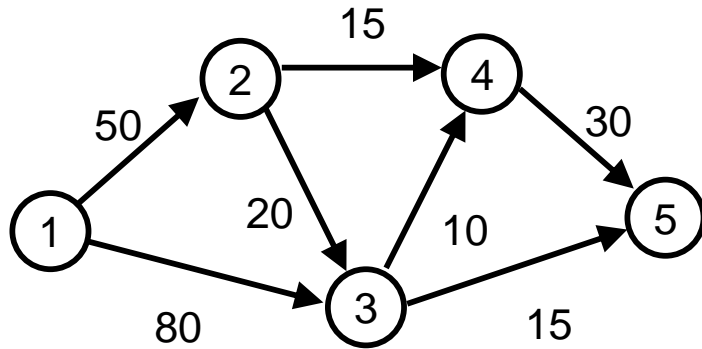
1.  $S = \Phi$ ,  $\bar{S} = V$ ,  $d(s) = 0$ ,  $d(i) = \infty (i \in V - \{s\})$  とする.
2.  $S = V$  ならば停止. そうでないとき  $d(v) = \min\{d(i) | i \in \bar{S}\}$  であるような  $v \in \bar{S}$  を選ぶ.
3.  $S = S \cup \{v\}$ ,  $\bar{S} = \bar{S} - \{v\}$  とする.  $(v, j) \in E$  かつ  $j \in \bar{S}$  であるようなすべての枝に対して,  $d(j) > d(v) + a_{vj}$  ならば  $d(j) = d(v) + a_{vj}$ ,  $p(j) = v$  とする.
4. 2に戻る.

## ダイクストラ法の大規模な実行例: java program

例題: 以下の例に Dijkstra 法を適用してみる



- $S = \Phi$ ,  $\bar{S} = V$ ,  $d = [0, \infty, \infty, \infty, \infty]$ .



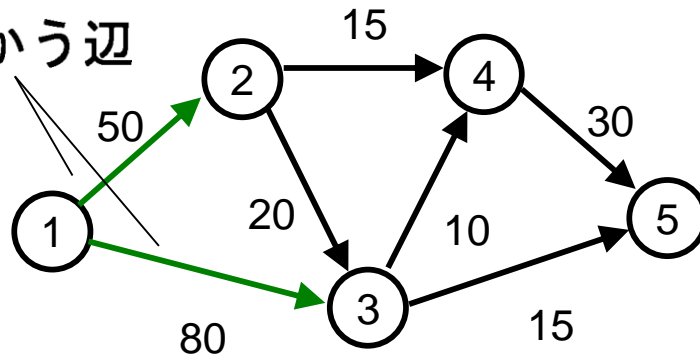
$v = \arg \min \{d(i) | i \in \bar{S}\} = 1$   
 ノード1を $\bar{S}$ から $S$ へ

- $S = \{1\}$ ,  $\bar{S} = \{2, 3, 4, 5\}$

$$d(2) \leftarrow \min \{ \underset{\downarrow}{d(2)}, \underset{\downarrow}{d(1)} + a_{12} \}$$

$\infty$                    $0 + 50$

$v$ から $\bar{S}$ 内へ向かう辺



よって $d(2)$ は**50**に更新,  
 同様に $d(3) \leftarrow 80$

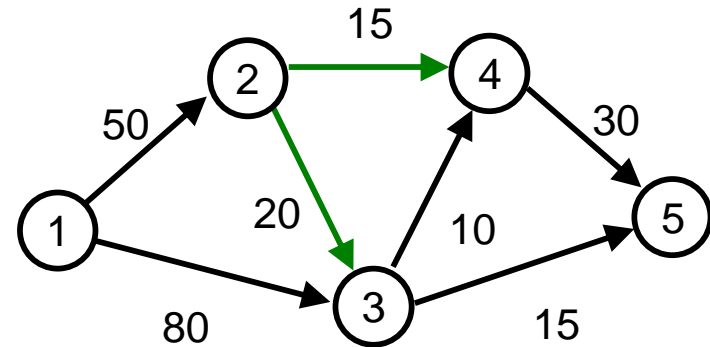
➡  $d = [0, 50, 80, \infty, \infty]$

$$d = [0, 50, 80, \infty, \infty]$$

$$v = \arg \min \{d(i) | i \in \bar{S}\} = 2$$

- $S = \{1, 2\}, \bar{S} = \{3, 4, 5\}$

ノード2を $\bar{S}$ から $S$ へ



$v$ から $\bar{S}$ 内へ向かう辺は(2,3)と(2,4)

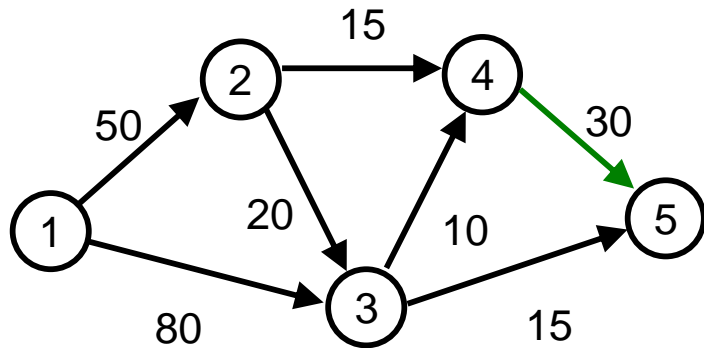
$$d(3) \leftarrow \min \{d(3), d(2) + a_{23}\}$$

$$80 \quad 50 + 20$$

$$d(3) \leftarrow 70, \quad d(4) \leftarrow 65 \quad \longrightarrow \quad d = [0, 50, 70, 65, \infty]$$

ノード4を $\bar{S}$ から $S$ へ

- $S = \{1, 2, 4\}$ ,  $\bar{S} = \{3, 5\}$

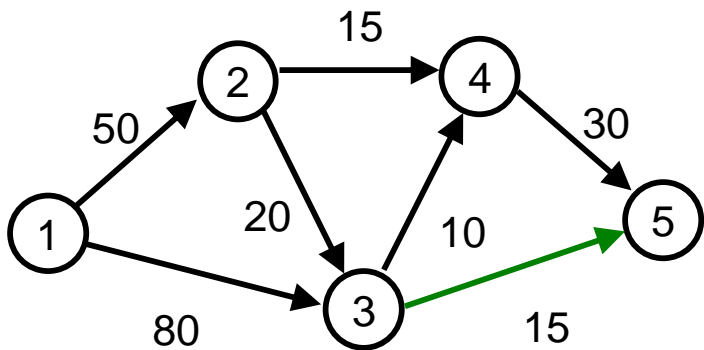


$$d(5) \leftarrow 95$$

$$\rightarrow d = [0, 50, 70, 65, 95]$$

ノード3を $\bar{S}$ から $S$ へ

- $S = \{1, 2, 3, 4\}$ ,  $\bar{S} = \{5\}$



$$d(5) = \min\{95, 70 + 15\} = 85$$

$$\rightarrow d = [0, 50, 70, 65, 85]$$

ノード5を $S$ へ. 終了.

# Dijkstra法の計算量

$S$  の要素を1つずつ増やす:  $n$  反復高々  $n$  個の  $d(i)$  を比較

$\Rightarrow O(n^2)$  オーダー(最高次の次数のみ係数は無視)

$S$  から外に出るエッジについて  $d(i)$  の更新 高々  $m$  回の処理  $\Rightarrow O(m)$

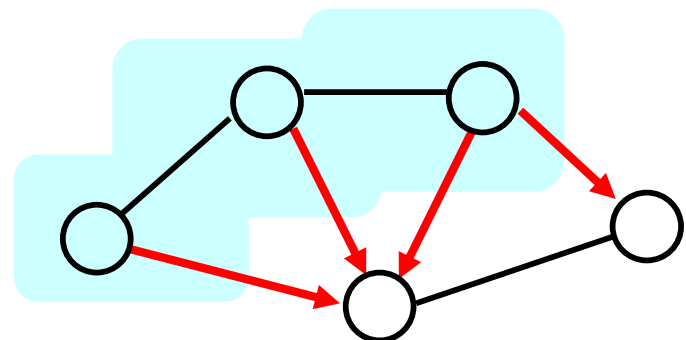
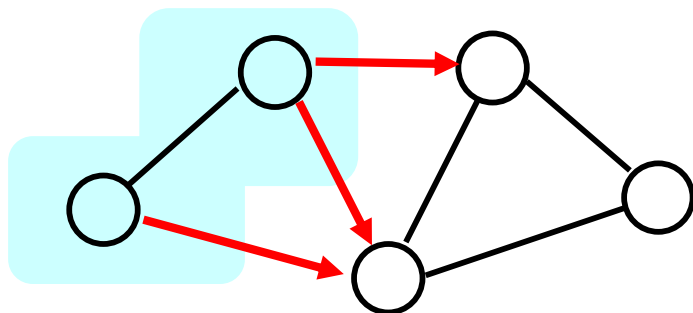
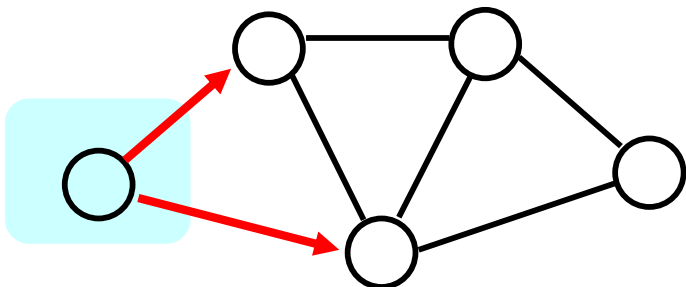
(ループ内の処理に見えるが)

エッジの本数は最大でも  $m = \frac{n(n-1)}{2}$

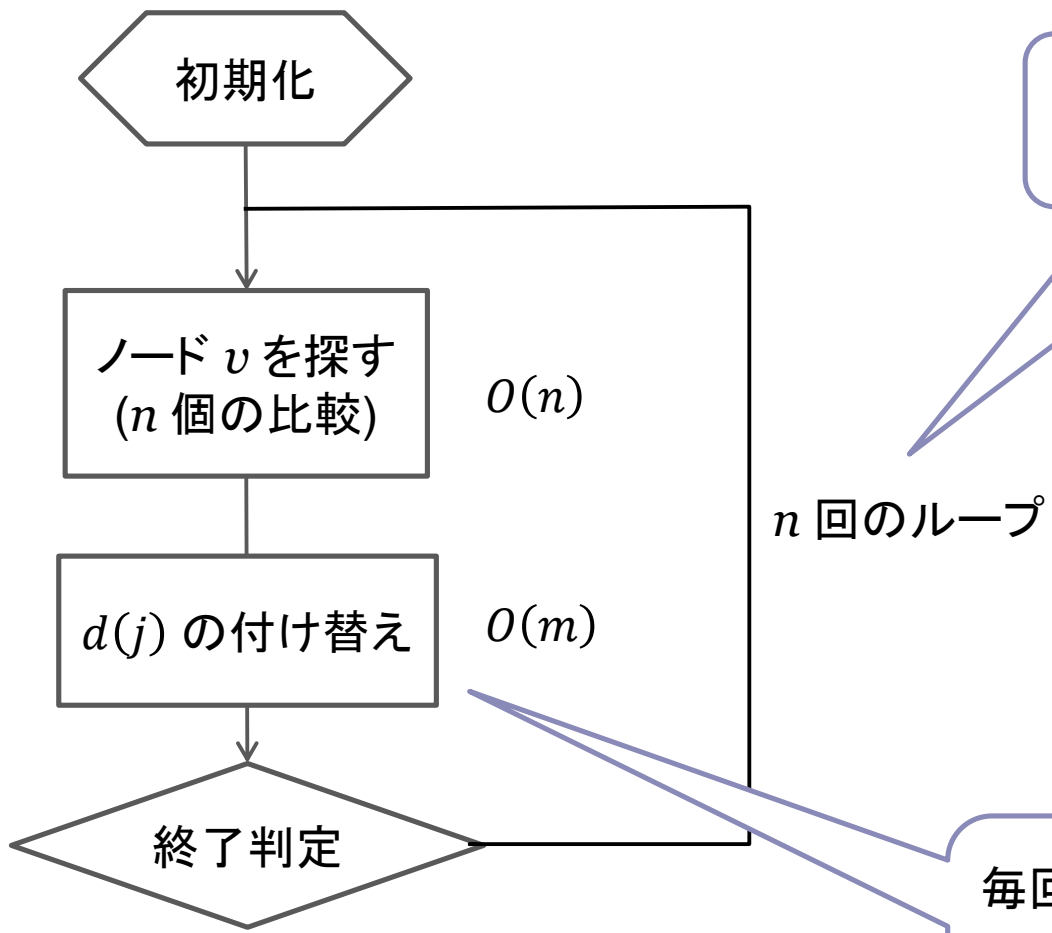
( $n$ 個のノードをすべて相互につなぐとき)



$m < n^2$  より, 全体では  $O(n^2)$

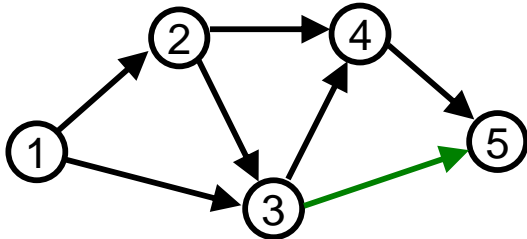
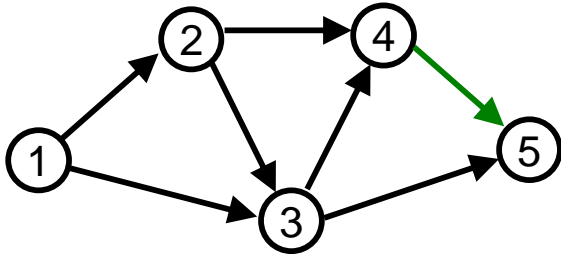
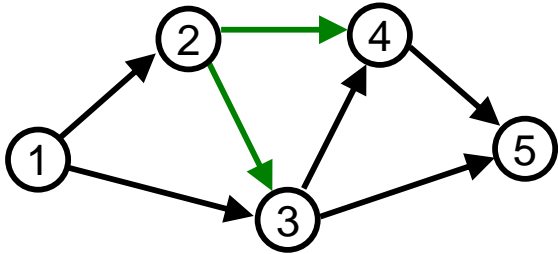
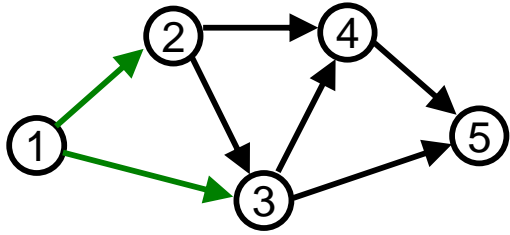


ノード数:  $n$ , エッジ本数:  $m$



$O(m) > O(n)$  だから  
全体では  $O(mn)$ ?

毎回処理するわけではないので、  
 $O(mn)$  の見積もりは正しくない。  
都合何回あるかを考える。



∴  $d(j)$  の付け替えは各ノードに入ってくる矢印の数だけ行われる.  
(行われない場合もある.)

➡ 最大でも辺の総数だけ